

UC Merced

Biogeographia - The Journal of Integrative Biogeography

Title

Il torrente Parma: criteri statistici per una tipizzazione biologica

Permalink

<https://escholarship.org/uc/item/1186g2r1>

Journal

Biogeographia - The Journal of Integrative Biogeography, 6(1)

ISSN

1594-7629

Authors

Ghetti, P. F.

Bonazzi, G.

Alfarone, M.

Publication Date

1979

DOI

10.21426/B66110015

Peer reviewed

GHETTI P.F., BONAZZI G. & ALFARONE M.

Laboratorio di Ecologia - Università di Parma

Il torrente Parma:

Criteri statistici per una tipizzazione biologica (*)

1 - PREMESSA

Un corso d'acqua va interpretato come una serie di ecosistemi definiti da un insieme di cambiamenti delle condizioni ambientali da un ecosistema al successivo nella direzione della corrente (WUHRMANN, 1972). Dalla sorgente alla foce variano: velocità di corrente, caratteristiche del substrato, portata, temperatura, ossigenazione, nutrienti disciolti, durezza e tutta una serie di zonazioni biologiche. La struttura delle biocenosi fluviali è resa più complessa dall'intersecarsi di mosaici di microhabitat, da aree di sovrapposizione fra le diverse zonazioni, dal verificarsi di cambiamenti improvvisi della tipologia ambientale per sbarramenti, cascate, ambienti igropetrichi, ipogei, freaticoli.

Numerosi AA. hanno cercato di chiarire il significato ecologico delle zonazioni negli ambienti di acque correnti (HUET, 1946, 1949; ILLIES, 1961; ILLIES & BOTOSANEANU, 1963; VAILLANT, 1967; HAWKES, 1975; WEBER-OLDECOP, 1977). Altri, hanno descritto biocenosi fluviali attraverso la caratterizzazione di biotipi e la definizione delle comunità ad essi associate (THIENEMANN, 1912; PERCIVAL & WHITEHEAD, 1929; SHELFORD, 1929; MUTTKOWSKY, 1929; BERG, 1948; MARLIER, 1951; THORUP, 1966; VERNEAUX, 1973).

Il criterio generalmente seguito è quello discusso da ILLIES & BOTOSANEANU (1963) in cui si tende a distinguere: una rappresentazione biologica del corso d'acqua *in toto*, una rappresentazione per zonazioni, una rappresentazione per mosaici di microhabitat. Si

(*) Ricerca finanziata nell'ambito del Progetto finalizzato C.N.R. «Promozione della qualità dell'ambiente».

tratta di tre diversi angoli di apertura nell'analisi del medesimo ambiente tendenti a privilegiare o una interpretazione di insieme o il particolare, con diverse implicazioni a livello di precisione e di agibilità dell'informazione.

Con questo lavoro si è cercato di proporre un criterio di raccolta, elaborazione e presentazione dei dati relativi ai popolamenti di macroinvertebrati del Torrente Parma, in grado di valorizzare, sia una tipizzazione biologica del corso d'acqua *in toto*, che una tipizzazione per zonazioni. Questo criterio tiene inoltre conto di dati relativi ad un intero ciclo annuale di campionamenti; aspetto troppe volte trascurato nei lavori di tipizzazione biologica di un ambiente con implicazioni negative sulla rappresentatività delle comunità descritte.

L'interesse per questo impegno di caratterizzazione biologica dei corsi d'acqua si è andato sviluppando, in questi ultimi anni, come requisito preliminare allo sviluppo e applicazione di metodi biologici pratici per la stima e la conservazione della qualità degli ambienti di acque correnti (VERNEAUX, 1975; PERSOONE, 1977). Si ritiene, infatti, che i criteri ecologici per l'analisi di qualità degli ambienti di acque correnti debbano riferirsi a « tipi ecologici » relativi a precise zonazioni. L'obiettivo finale di una politica di conservazione dovrebbe, infatti, essere quello di mantenere, per ciascun « tipo ecologico », caratteristiche fisiche e chimiche compatibili con uno sviluppo normale del suo particolare « edificio biologico » (VERNEAUX, 1975).

2 - CRITERI E METODI

2.1 - Ambiente e criteri di campionamento

Le caratteristiche morfologiche e idrologiche del Torrente Parma e del suo bacino sono state descritte in dettaglio in precedenti lavori (GHETTI, 1974; GHETTI & BONAZZI, 1977).

Il bacino appartiene al sistema bioclimatico mediterraneo, con una litologia prevalentemente argillosa e uno stadio evolutivo giovanile. Il regime idrologico è caratterizzato da piene primaverili ed autunnali, magre invernali e asciutte estive. La Fig. 1 riporta il profilo longitudinale dell'asta principale e dei suoi affluenti. In ordinata sono indicate le altitudini e, in ascissa, le stazioni di campio-

namento con le distanze in chilometri dalla sorgente. Si possono così individuare: un tratto montano che va dai 1540 ai 540 m s.m., alla confluenza con il Torrente Bratica, con una lunghezza di 13,5 km e una pendenza media del 74%; un tratto di collina e pianura alta che va dai 540 ai 60 m s.m., alla confluenza con il Torrente Ba-

PROFILO LONGITUDINALE DEL T. PARMA E DEI SUOI PRINCIPALI AFFLUENTI

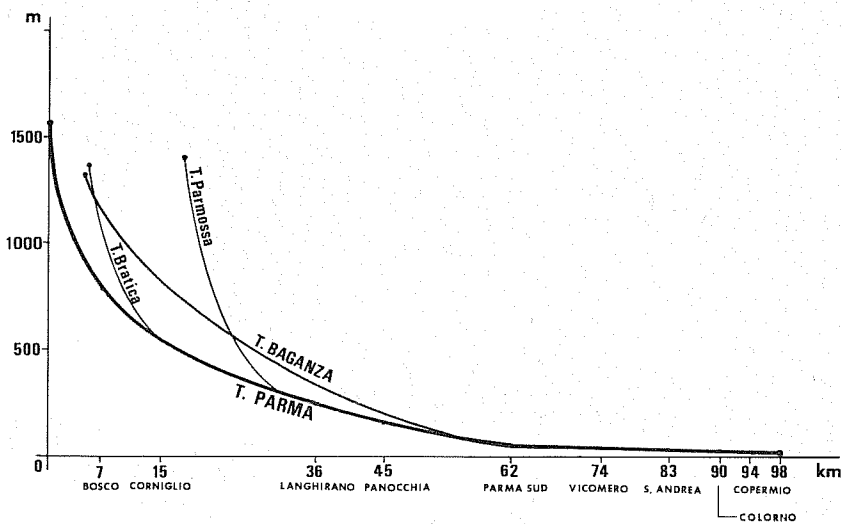


FIG. 1

ganza, con una lunghezza di 39,5 km e una pendenza media del 15,5%; un tratto di pianura bassa che va dai 60 ai 20 m s.m., alla confluenza nel Fiume Po, con una lunghezza di circa 45 km e una pendenza media dello 0,9%.

Le stazioni di campionamento sono state distribuite in modo da rappresentare ciascuna delle tre zonazioni principali e le aree di passaggio da una zona all'altra.

In ciascuna stazione si sono raccolti campioni semiquantitativi lungo il transetto e, qualitativi, risalendo il torrente a monte per un tratto di circa 50 m, in modo da campionare diversi microhabitat. Si sono realizzati, mediamente, 11 campionamenti distribuiti nell'arco di un intero anno, con l'eccezione delle stazioni di pianura alta che rimangono in asciutta per 2-3 mesi (BONAZZI & GHETTI,

1977). I campionamenti semiquantitativi sono stati effettuati con rete di Surber (1120 cm^2 e 21 maglie/cm) nelle prime 5 stazioni a fondi duri e acque mediamente basse, e con carotatore metallico a sezione quadrata ($30,5 \text{ cm}^2$) su fondali sabbioso-limosi e con acque mediamente alte. Si sono raccolti, lungo il transetto, due campioni replicati con la Surber e tre campioni, sempre replicati, con il carotatore metallico. I campionamenti qualitativi sono stati realizzati, con l'ausilio di un retino immanicato (21 maglie/cm), lungo tutta l'ampiezza dell'alveo bagnato, dove ciò era possibile, e lungo le sponde nei tratti ad acqua alta. Si è potuto così contare, sia su dati semiquantitativi utili alla definizione delle abbondanze (soprattutto per le specie più comuni) e sia su dati qualitativi, in grado però di fornire un'immagine più completa della reale struttura della comunità, dando il giusto risalto ai principali microhabitat e alle specie più rare.

2.2 - Criteri di elaborazione statistica dei dati

La scelta di metodi statistici per la elaborazione di questi dati doveva soddisfare alle seguenti esigenze:

- valorizzare sia i dati quantitativi che quelli qualitativi;
- utilizzare informazioni relative ad un intero ciclo annuale di 11 campionamenti;
- evidenziare sia l'aspetto della dominanza numerica che la continuità con cui le specie si ritrovano in un determinato ambiente;
- dare un'immagine sintetica della struttura delle comunità tipizzanti le varie stazioni, senza perdere di vista il quadro complessivo del succedersi delle zonazioni lungo tutta l'asta del corso d'acqua.

Per ottenere questo risultato si è ricorsi all'applicazione contemporanea di due metodi statistici: l'analisi di similarità mediante la tecnica della *cluster analysis* (DAVIES, 1971; WILLIAMS, 1971; CROSSMAN e al., 1974) e l'indice di affinità (FAGER, 1957). Mentre, infatti, il metodo di FAGER considera unicamente il valore di presenza-assenza privilegiando la frequenza di comparizione rispetto alla abbondanza, la tecnica della *cluster analysis*, applicata ai dati quantitativi, tende a pesare maggiormente l'abbondanza rispetto alla frequenza di rinvenimento.

Operativamente si è preceduto: alla compilazione di un elenco generale di tutte le specie o taxa rinvenuti lungo il torrente, alla registrazione dei valori di abbondanza media ove esistevano, alla codifica dei dati e inserimento nel programma *cluster* all'elaboratore elettronico ⁽¹⁾, al calcolo dell'indice di FAGER sul complesso delle specie rinvenute.

— Indice di similarità mediante *cluster analysis*.

Questa metodologia si basa su misure di similarità effettuate fra tutti gli elementi in esame (nel nostro caso specie e numero di individui) per mezzo di coefficienti di similarità, che nel nostro caso sono costituiti dal coefficiente di distanza (d_{ij}):

$$d_{ij} = \sqrt{\frac{\sum_{k=1}^m (x_{ik} - x_{jk})^2}{m}}$$

dove x_{ik} indica la k-iesima variabile misurata sull'oggetto i; x_{jk} indica la k-iesima variabile misurata sull'oggetto j; m indica il numero di variabili misurate su ogni oggetto.

Calcolati questi coefficienti di distanza viene costruita una matrice di correlazione fra tutte le variabili in esame e si procede alla separazione delle specie che presentano la più elevata similarità tra loro. Queste andranno a costituire il *cluster* iniziale e, successivamente, verranno collegate ad esse tutte quelle specie che presentano via via similarità sempre più bassa (Tab. 1).

Nel nostro caso il massimo valore di similarità viene registrato fra le specie sporadiche, definite quindi da una serie di valori zero (assenza di rinvenimenti) o da valori bassi (rinvenimenti rari e con pochi organismi). Troviamo un esempio in Tab. 1 fra le specie 3 e 19. Per cui, tanto più una specie è abbondante e frequente, tanto maggiore risulterà il coefficiente di distanza rispetto al *cluster* iniziale. Questo metodo è quindi in grado di porre in evidenza, secondo una gradualità di valori, le specie dominanti, tenendo conto dell'abbondanza e della persistenza di ritrovamento.

(1) Si ringrazia il tecnico elaboratore Enzo Siri del Laboratorio di Ecologia per la collaborazione prestata.

	1	2	3	4	5	6	7	8	9	TORRENTE PARMA POPOLAMENTI MACROZOOBENTONICI S. ANDREA
1	-0.00000	724.00000	-0.00000	-0.00000	-0.00000	55.00000	110.00000	110.00000	-0.00000	INPUT DATA MATRIX-COLUMNS = VARIABLES, ROWS = OBSERVATIONS
2	-0.00000	-0.00000	-0.00000	-0.00000	-0.00000	-0.00000	-0.00000	110.00000	-0.00000	2 18 0.
3	181.00000	-0.00000	-0.00000	-0.00000	-0.00000	-0.00000	-0.00000	-0.00000	-0.00000	3 19 0.
4	-0.00000	-0.00000	-0.00000	-0.00000	-0.00000	110.00000	-0.00000	770.00000	-0.00000	9 12 0.
5	7783.00000	-0.00000	-0.00000	330.00000	1155.00000	1265.00000	330.00000	220.00000	440.00000	10 21 18.
6	-0.00000	-0.00000	-0.00000	440.00000	3720.00000	1679.00000	275.00000	550.00000	-0.00000	14 15 0.
7	8145.00000	1086.00000	880.00000	220.00000	1945.00000	3106.00000	495.00000	3740.00000	19360.00000	16 39 37.
8	3439.00000	362.00000	220.00000	770.00000	4015.00000	1980.00000	1430.00000	3080.00000	660.00000	17 25 41.
9	-0.00000	-0.00000	-0.00000	-0.00000	-0.00000	55.00000	-0.00000	-0.00000	-0.00000	28 29 55.
10	-0.00000	-0.00000	-0.00000	-0.00000	55.00000	-0.00000	-0.00000	-0.00000	-0.00000	30 36 0.
11	-0.00000	-0.00000	-0.00000	-0.00000	-0.00000	55.00000	-0.00000	55.00000	-0.00000	3 27 0.
12	-0.00000	-0.00000	-0.00000	-0.00000	-0.00000	55.00000	-0.00000	-0.00000	-0.00000	9 24 0.
13	-0.00000	-0.00000	110.00000	-0.00000	220.00000	-0.00000	-0.00000	-0.00000	-0.00000	10 31 28.
14	-0.00000	-0.00000	-0.00000	-0.00000	-0.00000	-0.00000	110.00000	-0.00000	-0.00000	16 23 44.
15	-0.00000	-0.00000	-0.00000	-0.00000	-0.00000	-0.00000	110.00000	-0.00000	-0.00000	30 33 18.
16	-0.00000	362.00000	-0.00000	110.00000	-0.00000	-0.00000	-0.00000	-0.00000	-0.00000	9 37 0.
17	-0.00000	-0.00000	330.00000	-0.00000	-0.00000	-0.00000	-0.00000	-0.00000	-0.00000	9 11 18.
18	-0.00000	-0.00000	-0.00000	-0.00000	-0.00000	-0.00000	-0.00000	110.00000	-0.00000	2 9 33.
19	181.00000	-0.00000	-0.00000	-0.00000	-0.00000	-0.00000	-0.00000	-0.00000	-0.00000	3 32 63.
20	-0.00000	-0.00000	-0.00000	-0.00000	55.00000	330.00000	-0.00000	-0.00000	-0.00000	10 13 50.
21	-0.00000	-0.00000	-0.00000	-0.00000	110.00000	-0.00000	-0.00000	-0.00000	-0.00000	2 26 50.
22	-0.00000	-0.00000	660.00000	-0.00000	-0.00000	110.00000	-0.00000	-0.00000	660.00000	2 30 52.
23	-0.00000	362.00000	110.00000	-0.00000	-0.00000	-0.00000	-0.00000	-0.00000	-0.00000	2 28 95.
24	-0.00000	-0.00000	-0.00000	-0.00000	-0.00000	55.00000	-0.00000	-0.00000	-0.00000	1 16 136.
25	-0.00000	-0.00000	440.00000	-0.00000	-0.00000	55.00000	-0.00000	-0.00000	-0.00000	2 20 119.
26	-0.00000	-0.00000	110.00000	-0.00000	-0.00000	-0.00000	-0.00000	-0.00000	-0.00000	2 17 127.
27	181.00000	-0.00000	-0.00000	-0.00000	-0.00000	-0.00000	-0.00000	-0.00000	-0.00000	2 35 156.
28	-0.00000	-0.00000	-0.00000	-0.00000	-0.00000	-0.00000	-0.00000	110.00000	-0.00000	1 2 192.
29	-0.00000	-0.00000	110.00000	-0.00000	-0.00000	-0.00000	-0.00000	-0.00000	-0.00000	1 4 234.
30	-0.00000	-0.00000	-0.00000	110.00000	-0.00000	-0.00000	-0.00000	-0.00000	-0.00000	1 5 300.
31	-0.00000	-0.00000	-0.00000	-0.00000	165.00000	-0.00000	-0.00000	-0.00000	-0.00000	1 22 371.
32	362.00000	-0.00000	-0.00000	-0.00000	-0.00000	55.00000	-0.00000	-0.00000	-0.00000	1 34 507.
33	-0.00000	-0.00000	-0.00000	110.00000	55.00000	-0.00000	-0.00000	-0.00000	-0.00000	1 6 1257.
34	905.00000	-0.00000	110.00000	550.00000	770.00000	275.00000	330.00000	440.00000	110.00000	1 8 1744.
35	-0.00000	-0.00000	-0.00000	440.00000	165.00000	220.00000	110.00000	-0.00000	-0.00000	1 5 2328.
36	-0.00000	-0.00000	-0.00000	110.00000	-0.00000	-0.00000	-0.00000	-0.00000	-0.00000	1 7 6635.
37	-0.00000	-0.00000	-0.00000	-0.00000	-0.00000	55.00000	-0.00000	-0.00000	-0.00000	COLUMNS 1 AND 2 - OBSERVATIONS COMBINED INTO CLUSTERS
38	181.00000	-0.00000	-0.00000	110.00000	-0.00000	110.00000	-0.00000	220.00000	-0.00000	COLUMN 3 - SIMILARITY LEVEL OF CLUSTERING
39	-0.00000	362.00000	-0.00000	-0.00000	-0.00000	-0.00000	-0.00000	-0.00000	-0.00000	

TAB. 1 - Matrice di correlazione tra le variabili in esame per la stazione di S. Andrea (in ascissa il n. di campioni, in ordinata le specie; i valori interni rappresentano il n. medio di organismi).

I risultati vengono elaborati e proposti direttamente sotto forma di dendrogrammi (Figg. 2,3).

L'analisi della conformazione dei dendrogrammi ha inoltre permesso una suddivisione dello spettro dei valori di dominanza in categorie definite da intervalli dedotti dalla scala logaritmica:

- dominanza elevata=valori del coeff. di distanza superiori o uguali a 1000;
- dominanza media=valori del coeff. di distanza fra 999 e 100;
- dominanza bassa=valori del coeff. di distanza fra 99 e 10.

Indice di affinità di FAGER.

Questo indice si propone di individuare quelle specie che, nei campioni di successivi prelievi, ricorrono più frequentemente, riunendole assieme con il nome di « gruppo ricorrente ». Rispetto ad esso si possono definire le « specie associate di primo e secondo ordine », in relazione al grado di associazione con il gruppo ricorrente.

Questo indice si basa quindi sul numero n_a di volte con il quale una specie *A* è presente nei campioni, e sul numero n_b di volte con il quale è presente una seconda specie *B*. In base a questi valori è possibile stabilire un « indice di affinità » mediante l'elaborazione di una tabella per stabilire la significatività del numero *J* di volte con il quale le specie sono contemporaneamente presenti. In tale tabella sono riportati i valori minimi per cui le presenze sono considerate associative e, cioè, affinità positive per $P \geq 95\%$ per ciascuno dei casi in cui risulti: $n_b/n_a = 1$; $n_b/n_a = 1,5$; $n_b/n_a = 2$. FAGER ha elaborato questa tabella per valori interi di n_a compresi fra 5 e 10, e di 10 in 10 nell'intervalle tra 10 e 100. I valori intermedi possono essere interpolati; tutti gli altri calcolati con apposita formula. Dal numero di affinità positive, riscontrate per ogni specie rispetto a tutte le altre, si possono individuare i « gruppi ricorrenti » che indicano i raggruppamenti di specie più affini nell'ambito di tutte le specie e di tutti i campioni raccolti. Fra questi, quelli con il maggior numero di entità, possono essere considerati come le comunità principali, comprendenti le specie più caratteristiche per l'ambiente in esame. A queste si possono riferire, come specie associate, quelle che non hanno affinità fra loro, ma che presentano affinità almeno con alcune specie del gruppo ricorrente principale. Le specie che non

CORNIGLIO

797.0551 728.0792 590.1274 452.1755 314.2237 176.2718 38.3200
 797.0551 659.1033 521.1514 383.1996 245.2477 107.2959 -30.6560

*----- 1 0.00000000 Eiseniella tetracera
 *----- 78 1.96146721 Davrella sp.
 *----- 2 0.00000000 Hemochaeta sp.
 *----- 60 2.11401700 Orthocladiinae sp. D
 *----- .46621901 Habrophlebia fusca
 *----- 27 2.44655203 Dytiscidae sp. A
 *----- 8 1.37780128 Hippobdella sp.
 *----- 36 0.00000000 Blepharoceridae
 *----- 38 2.13915476 Pirniliidae sp. B
 *----- 26 1.36301703 Xanthoperla apicalis
 *----- 41 2.18316148 Scopeuma sp.
 *----- 15 .92918398 Habrophlebia umbratilis
 *----- 70 3.09980038 Orthocladiinae sp. Q
 *----- 33 0.00000000 Limnephilidae
 *----- 48 3.72758293 Ensimilium "gr. aureum"
 *----- 49 4.49469834 Oligotricha variegata
 *----- 28 2.42517405 Elmidae sp. A
 *----- 69 5.27249031 Orthocladiinae sp. F2
 *----- 46 6.43178589 Aterix sp.
 *----- 32 0.00000000 Polycentropus sp.
 *----- 40 *18765053 Eriocera sp. D
 *----- 73 1.92110828 Parabentripes sp.
 *----- 34 2.3175519 Allotrichus sp.
 *----- 53 3.59542598 Corynoneurinae
 *----- 39 7.05948442 Dicranota sp.
 *----- 7 2.82690311 Enchytraeidae
 *----- 24 4.16389835 Isoperla rivularum
 *----- 56 8.21375984 Orthocladiinae sp. A
 *----- 11 13.03453774 Epeorus torrentium
 *----- 3 1.35703643 Nais communis
 *----- 54 5.12514366 Corynoneura s.g. thienemanniella
 *----- 18 10.95383267 Caenis horaria
 *----- 62 7.44301683 Orthocladiinae sp. H1
 *----- 52 13.50571038 Pentaneurini sp. C
 *----- 77 15.86608558 Tanytarsus "gr. inermipes"
 *----- 30 16.00511141 Glossosoma sp.
 *----- 21 7.40752033 Nemoura mortoni
 *----- 61 17.67805585 Orthocladiinae sp. F2
 *----- 55 27.87408507 Diamesinae
 *----- 12 7.03052503 Ecyonurus helveticus
 *----- 51 13.56714809 Pentaneurini sp. B
 *----- 71 6.13244412 Serrigentia sp.
 *----- 72 37.23782838 Microtendipes sp.
 *----- 45 31.82895097 Tabanus sp.
 *----- 51 13.56714809 Pentaneurini sp. B
 *----- 63 45.28282657 Orthocladiinae sp. H2
 *----- 71 31.1610579 Rhithrogena aurantiaca
 *----- 47 59.05108600 Prosimulum hirtipes
 *----- 50 31.11680376 Pentaneurini sp. A
 *----- 19 29.14752140 Brachyptera ristii
 *----- 64 9.78662588 Orthocladiinae sp. H4
 *----- 59 84.50790344 Orthocladiinae sp. C1
 *----- 76 18.34102439 Tanytarsus "gr. Gregarius"
 *----- 68 39.92363929 Orthocladiinae sp. P1
 *----- 74 105.22808536 Polypedilum "gr. jaetum"
 *----- 37 41.88188922 Tipulidae sp. A
 *----- 44 23.44014442 Empididae sp. B
 *----- 67 145.62079055 Orthocladiinae sp. I4
 *----- 6 2.4496535 Lumbriculidae
 *----- 75 37.42039638 Tanytarsus "gr. exiguum"
 *----- 31 217.19127349 Hydropsyche sp.
 *----- 17 100.45335162 Ephemerella ignita
 *----- 58 248.71484223 Orthocladiinae sp. B2
 *----- 4 109.22208157 Nais elinguis
 *----- 20 301.38679615 Amphinemura sulcicollis
 *----- 14 342.45346095 Rhithrogena semicolorata
 *----- 9 211.42824749 Baetis pseudorebatrius
 *----- 10 488.60897884 Baetis pseudorebatrius
 *----- 57 661.62208002 Orthocladiinae sp. B1
 *----- 23 766.39916879 Leuctra fusca
 *----- 66 Orthocladiinae sp. I2

DENROGRAM - VALUES ALONG X-AXIS ARE SIMILARITIES

Fig. 2 - Dendrogramma elaborato mediante cluster analysis per i dati di Corniglio.

COLORNO

*****76610.596242976.6759 9342.7556
*****93427.556459793.636126159.7158-7474.2045

.	---	1	120.66666667	Eiseniella tetraedra
I	.	2	279.19833461	Nais barbata
I	.	8	84.14794953	Erpobdella sp.
I	.	13	60.33333333	Limnephilidae
I	.	23	123.56565698	Pentapedilum sp.
I	.	9	51.85449729	Erpobdella octoculata
I	.	15	0.00000000	Orthocladiinae sp. B1
I	.	17	0.00000000	Orthocladiinae sp. H4
I	.	22	51.85449729	Paratendipes sp.
I	.	28	70.27277891	Radix peregra
I	.	26	36.66666667	Bithynia tentaculata
I	.	27	150.49703073	Physa acuta
I	.	29	181.17669264	Lymnaea sp.
I	.	24	337.63142710	Polipedilum "gr. laetum"
I	.	12	0.00000000	Coleoptera
I	.	18	0.00000000	Orthocladiinae sp. P2
I	.	21	134.90943464	Cryptocladopelma laccophila
I	.	30	500.67742546	Planorbis sp. A
I	.	11	36.66666667	Gammarus st.
I	.	25	271.05886236	Tanytarsus "gr. gregarius"
I	.	16	963.37842583	Orthocladiinae sp. B2
I	.	10	1671.72804732	Asellus sp.
I	.	20	2467.44860206	Limnochironomus sp.
I	.	14	6007.75125388	Euorthocladius sp.
I	.	19	7089.86668564	Chironomus "gr. thummi"
I	.	5	22367.96361893	Limnodrilus claparedeanus
I	.	7	24806.83656321	Limnodrilus udekemianus
I	.	3	97199.68292049	Nais elinguis
I	.	6186855.11270853	Limnodrilus hoffmeisteri	
I	.	4		Tubifex tubifex

*****93427.556459793.636126159.7158-7474.2045
*****76610.596242976.6759 9342.7556

DENDROGRAM - VALUES ALONG X-AXIS ARE

SIMILARITIES

FIG. 3 - Dendrogramma elaborato mediante *cluster analysis* per i dati di Colorno.

fanno parte del gruppo ricorrente principale, ma che hanno affinità positive tra di esse, costituiscono altrettante sub-comunità secondarie, associate o meno alla comunità di base (SARACENI, 1971).

3 - ANALISI DEI RISULTATI

3.1 - *Stima della dominanza mediante cluster analysis.*

Le Figg. 2,3 riportano due dendrogrammi elaborati per le stazioni di Corniglio e Colorno definite da caratteristiche ambientali nettamente diverse. E' agevole rilevare, dall'ampiezza e dalla forma dei dendrogrammi, sia la diversa ricchezza in specie delle due comunità, che il peso della dominanza delle varie specie.

Un quadro riassuntivo dei coefficienti di distanza calcolati per tutte le 9 stazioni è riportato in Tab. 2. In essa le diverse specie sono elencate in ordine progressivo di valori del coefficiente di distanza e raggruppate nelle tre categorie di dominanza, prima descritte. Sono escluse solo le specie con valori del coefficiente di distanza inferiore a 10. Questa tabella permette di risalire agevolmente al grado di dominanza delle varie specie entro le singole stazioni.

E' interessante rilevare come il numero di specie raggruppate nella categoria « elevata dominanza » sia maggiore nelle stazioni di pianura (Copermio, Colorno, S. Andrea, Vicomero, Parma Sud) rispetto alle stazioni montane (Bosco, Corniglio) e, in parte, alle stazioni di collina e pianura alta (Langhirano, Panocchia). Diversa è, invece, la situazione nella categoria « bassa dominanza », a sottolineare una profonda differenziazione della struttura e dinamica dell'edificio biologico in funzione di cause naturali e antropiche. Soprattutto le stazioni di Colorno e Copermio sono, infatti, soggette ad un sensibile carico inquinante, che, in parte, coinvolge tutte le altre stazioni di pianura e, marginalmente, quelle di collina (GHETTI, 1974).

3.2 - *Stima della affinità con il metodo di FAGER.*

Nelle Figg. 4,5 sono riportati i risultati del calcolo dell'indice di affinità per le stazioni di Bosco, S. Andrea, Colorno e Copermio. Le specie sono state raggruppate in tre categorie: specie di gruppo ricorrente (quadro centrale in basso), specie associate di primo or-

469/A

VALORI E LIVELLI DI DOMINANZA

BOSCO

CORNIGLIO

LANGHIRANO

PANOCCHIA

Prosimulium hirtipes
Baetis pseudotrebatinus

Orthocladiinae sp.B1
Baetis rhodani

Orthocladiinae sp.B2
Orthocladiinae sp.H2
Orthocladiinae sp.B1

Valori > 1000

Orthocladiinae sp.B2
Orthocladiinae sp.A
Amphinemura sulcicollis
Leuctra fusca
Orthocladiinae sp.C1
Orthocladiinae sp.B1
Baetis rhodani

Orthocladiinae sp.L2
Leuctra fusca
Orthocladiinae sp.B1
Baetis pseudotrebatinus
Rhithrogena semicolorata
Amphinemura sulcicollis
Orthocladiinae sp.B2
Hydropsyche sp.
Baetis rhodani
Orthocladiinae sp.L4
Polypedilum laetum
Nais elinguis
Ephemerella ignita

Orthocladiinae sp.B2
Polypedilum "gr.laetum"
Orthocladiinae sp.A

Orthocladiinae sp.C1
Baetis pseudotrebatinus
Pentaneurini sp.A
Nais elinguis
Orthocladiinae sp.L2
Odagmia "gr.ornata"

Valori 100÷999

Brachyptera risi
Eriocera sp.D
Protonemura intricata
Isoperla rivolorum
Xanthoperla apicalis
Stylocleris heringianus
Nemoura mortoni
Pentaneurini sp.A
Hydropsyche sp.
Orthocladiinae sp.L1
Orthocladiinae sp.F2
Rhithrogena aurantiaca
Rhithrogena semicolorata
Odontocerum albicorne
Limnephilidae
Habrophlebia umbratilis
Rhyacophila sp.
Perla marginata
Stempellina sp.
Tipulidae sp.A
Pentaneurini sp.B
Tanytarsus gr.gregarius
Orthocladiinae sp.D

Orthocladiinae sp.P1
Prosimulium hirtipes
Orthocladiinae sp.H2
Tipulidae sp.A
Orthocladiinae sp.P2
Protonemura intricata
Tanytarsus "gr.exiguus"
Microtendipes sp.
Orthocladiinae sp.L1
Tabanus sp.
Rhithrogena aurantiaca
Pentaneurini sp.A
Brachyptera risi
Diamesinae
Lumbriculidae
Empididae sp.B
Rhyacophila dorsalis
Empididae sp.A
Tanytarsus "gr.gregarius"
Orthocladiinae sp.F2
Glossosoma sp.
Tanytarsus "gr.inermipes"
Pentaneurini sp.B
Pentaneurini sp.C
Epeorus torrentium
Caenid larva

Baetis pseudotrebatinus
Orthocladiinae sp.L4
Prosimulium sp.
Simulium pictum
Orthocladiinae sp.H4
Rhithrogena semicolorata
Tanytarsus sp.
Isoperla grammatica
Hydropsyche sp.
Tanytarsus "gr.gregarius"
Orthocladiinae sp.H2
Orthocladiinae sp.P1
Pentaneurini sp.A
Orthocladiinae sp.H1
Protonemura intricata
Orthocladiinae sp.P2

Baetis rhodani
Rhithrogena semicolorata
Orthocladiinae sp.H1
Caenis horaria
Odagmia variegata
Isoperla grammatica
Orthocladiinae sp.A
Ecdyonurus fluminum
Hydropsyche sp.
Polypedilum "gr.laetum"
Tanytarsus "gr.gregarius"
Eriocera sp.D
Protonemura intricata

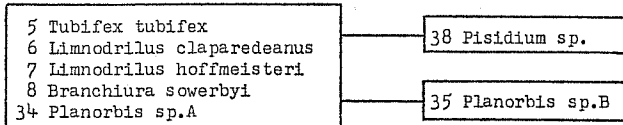
Valori 10÷99

TAB. 2 - Elenco delle specie secondo i valori progressivi di coefficiente di dominanza.
Sono indicati i 3 diversi livelli di dominanza.

PARMA SUD	VICOMERO	S. ANDREA	COLORNO	COPERMIO
Nais elinguis Orthocladiinae sp.B1 Orthocladiinae sp.B2 Nais barbata Homochaeta sp.	Limnodrilus hoffmeisteri Limnodrilus claparedeanus Branchiura sowerbyi Limnodrilus udekemianus Tubifex tubifex Planorbis sp.A Chironomus "gr.thummi" Orthocladiinae sp.B1	Limnodrilus hoffmeisteri Tubifex tubifex Branchiura sowerbyi Limnodrilus claparedeanus Planorbis sp.A	Tubifex tubifex Limnodrilus hoffmeisteri Nais elinguis Limnodrilus udekemianus Limnodrilus claparedeanus Chironomus "gr.thummi" Euorthocladus sp. Limnochironomus sp. Asellus sp.	Tubifex tubifex Limnodrilus hoffmeisteri Limnodrilus claparedeanus Limnodrilus udekemianus Chironomus "gr.thummi" Asellus sp. Nais elinguis Nais barbata
Tubifex tubifex Chironomus "gr.thummu" Orthocladiinae sp.H2 Orthocladiinae sp.L2 Baetis rhodani	Eiseniella tetraedra Physa acuta Pisidium sp. Potamotrix bavaricus Phytotendipes barbipes Lymnaea sp. Asellus sp. Polypedilum "gr.laetum" Erpobdella testacea Cryptochironomus "gr.defectus" Lumbriculus variegatus Coleoptera Planorbis sp.B	Chironomus "gr.thummi" Nais elinguis Planorbis sp.B Cryptochironomus "gr.defectus" Limnochironomus sp. Orthocladiinae sp.B1 Eiseniella tetraedra Pisidium sp. Tanytarsus "gr.gregarius"	Orthocladiinae sp.B2 Planorbis sp.A Polypedilum "gr.laetum" Nais barbata Tanytarsus "gr.gregarius" Lymnaea sp. Physa acuta Cryptocladopelma sp. Pentapedilum sp. Eiseniella tetraedra	Limnochironomus sp. Planorbis sp.A Psectrotanypus varius Euorthocladus sp. Cryptochironomus "gr.defectus" Lumbriculidae Diptera Bithynia tentaculata
Baetis speudatrebatus Pristina menoni Tanytarsus "gr.inermipes" Orthocladiinae sp.P1 Stylaria lacustris Orthocladiinae sp.H4 Orthocladiinae sp.N Odagmia "gr.ornata" Tanytarsus "gr. gregarius" Hydropsyche sp. Erpobdella octoculata Limnodrilus hoffmeisteri Orthocladiinae sp.C1 Lumbriculidae Physa acuta Pentaneurini sp.C	Tanytarsus "gr.gregarius" Orthocladiinae sp.P1 Aculus fluviatilis Pentaneurini sp.C Nais barbata Paracladopelma sp. Nais elinguis Erpobdella sp. Phytotendipes "gr.gripekoveni" Prodiamesa olivacea Tipulidae sp.B Glossiphonia complanata Phytochironomus sp. Bitynia tentaculata	Physa acuta Asellus sp. Radix peregra Polypedilum "gr.convictum" Polypedilum "gr.laetum" Cryptocladopelma sp. Bithynia tentaculata Tipulidae sp.B Erpobdella testacea Unio sp. Tanipodini Ceratopogonidae sp.A Pentaneurini sp.C Orthocladiinae sp.B2 Erpobdella sp. Planorbarius corneus Aculus fluviatilis	Radix peregra Erpobdella octoculata Paratendipes sp. Bithynia tentaculata Gammarus sp.	Psycodidae Peloscolex sp. Physa acuta Cladotanytarsus sp. Tanytarsus Erpobdella testacea Cloeon dipterum

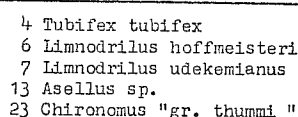
S. ANDREA

	5	6	7	8	34	38	4	11	22	29	35	N.A.
Tubifex tubifex	5	.	+	+	+	+	+					5
Limnodrilus claparedeanus	6	+	.	+	+	+				+		5
Limnodrilus hoffmeisteri	7	+	+	.	+	+	+					5
Branchiura sowerbyi	8	+	+	+	.	+	+					5
Planorbis sp.A	34	+	+	+	+	.	+					5
Pisidium sp.	38	+	+	+	+	.						4
Nais elonguis		4					.	+				1
Erpobdella		11					+	.				1
Chironomus "gr. thummi "		22						.	+			1
Tanytarsus "gr. gregarius "		29						+	.			1
Planorbis sp.B		35	+						.			1

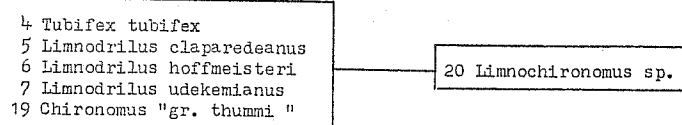
COPERMIO

	4	6	7	13	23	N.A.
Tubifex tubifex	4	.	+	+	+	4
Limnodrilus hoffmeisteri	6	+	.	+	+	4
Limnodrilus udekemianus	7	+	+	.	+	4
Asellus sp.	13	+	+	+	.	4
Chironomus "gr. thummi "	23	+	+	+	.	4

FIG. 5 - Calcolo dell'indice di affinità di Fager per le stazioni di S. Andrea, Colkieno e Copermio.

COLORNO

	4	6	19	5	7	20	N.A.
Tubifex tubifex	4	.	+	+	+	+	5
Limnodrilus hoffmeisteri	6	+	.	+	+	+	5
Chironomus "gr. thummi "	19	+	+	.	+	+	5
Limnodrilus claparedeanus	5	+	+	*	+		4
Limnodrilus udekemianus	7	+	+	+	+	.	4
Limnochironomus sp.	20	+	+			.	3



dine (quadro a destra del precedente), specie associate di secondo ordine (quadro a sinistra).

Nella stazione di Bosco (Fig. 4) si è riscontrata una affinità positiva fra 47 delle 79 specie rinvenute e, fra queste, 13 sono raggruppate nel gruppo ricorrente, mentre 7 presentano una interazione sempre con il gruppo ricorrente (2 come associate di primo ordine, 5 come associate di secondo ordine).

Nella stazione di Copermio, per contro, è stata riscontrata affinità positiva solo fra 5 delle 30 specie rinvenute. Queste 5 specie sono tutte raggruppate in un unico gruppo ricorrente.

Con questo metodo si è messa in evidenza una differenza netta fra il numero di specie ricorrenti delle stazioni montane e collinari e il numero, nettamente inferiore, delle stazioni di pianura. Se, quindi, si passa a pesare la frequenza di rinvenimento, trascurando l'abbondanza numerica, si trova che i gruppi ricorrenti delle stazioni di pianura sono costituiti da un numero sempre più ridotto di specie con una bassa percentuale di affinità positive.

4 - TIPIZZAZIONE BIOLOGICA DEL TORRENTE PARMA

L'elenco dei popolamenti di macroinvertebrati rinvenuti nelle 9 stazioni, entro un ciclo annuale, è stato riportato in Tab. 3. In questa tabella sono riportati, per ogni specie, sia i valori di dominanza che di affinità.

Si è così realizzato un quadro d'insieme della distribuzione, frequenza e incidenza dei singoli popolamenti, riassumendo la realtà di un intero ciclo annuale, nel rispetto delle zonazioni che caratterizzano il corso d'acqua dalla sorgente alla foce.

Dalla Tab. 3 si può, infatti, ricavare:

- l'elenco dei popolamenti che rappresentano la struttura complessiva della comunità dei macroinvertebrati del torrente;
- il succedersi delle zonazioni attraverso le 9 stazioni di campionamento;
- la struttura delle comunità entro le singole stazioni o entro gruppi di stazioni, con una definizione riassuntiva della dominanza e frequenza delle singole specie entro il ciclo annuale.

TAB. 3 - Quadro riassuntivo del grado di affinità, di dominanza e delle presenze dei popolamenti di macroinvertebrati del Torrente Parma.

Cluster Analysis	LEGENDA		Fager		BOSCO	CORNIGLIO	LANGHERANO	PANGOGHIA	PARMA SUD	VICOMPRO	S. ANDREA	COLORNO	COPIERMO
	dominanza elevata	specie di gruppo ricorrente											
● - media	□ specie associate di 1° ordine												
○ - bassa	□ specie associate di 2° ordine	+ specie occasionali											
OLIGOCHAETA													
Eiseniella tetraedra (Savigny)			+						+	○	○	○	+
Homochaeta sp.			+					●			+		
Nais barbata Mull.								●	○	+	○	●	
Nais communis Pig.			+										
Nais elinguis Mull.	+	○	+	■ ○	□	●	○	○	○	○	●	●	
Stylaria lacustris (L.)								○					
Pristina sp.			+										
Pristina longiseta Ehr.									+				
Pristina menoni (Aiy.)								○					
Tubifex sp.			+										
Tubifex tubifex (Mull.)								■ ○	■ ●	■ ○	■ ○	■ ○	■ ○
Limnodrilus claparedeanus Rat.								+	■ ●	■ ○	■ ○	■ ○	●
Limnodrilus hoffmeisteri Clap.								+	○	■ ●	■ ○	■ ○	■ ○
Limnodrilus udekemianus Clap.								+	■ ●		■ ○	■ ○	■ ○
Peloscolex sp.													○
Potamothrix bavaricus (Oschmann)										○			
Branchiura sowerbyi Bedd.									■ ●	■ ●			
Lumbriculidae	+	+				+		○	+			○	
Lumbriculus variegatus (Müller)	+	○								○			
Stylodrilus herringianus Clap.	○												
Haplotaxis gordiooides (Hart.)	+												
Enchytraeidae	+	+											
HIRUDINEA													
Glossiphonia complanata (L.)										○	+		
Helobdella stagnalis (L.)										+			+
Haemopis sanguisuga (L.)										+			
Erpobdella octoculata (L.)	+							○			○	+	
Erpobdella testacea (Sav.)	+	+	+					○	○	○	○		
Dina lineata (O.F. Mull.)	+							+		+			
ISOPODA													
Asellus sp.									+	○	○	●	■ ○
AMPHIPODA													
Gammarus sp.											○		+
EPHEMEROPTERA													
Baetis rhodani Pict.	■ ○	■ ○	■ ○	■ ○	■ ○	■ ○	■ ○	■ ○					

segue

Segue: Tab. 3

LEGENDA		BOSCO	CORNIGLIO	LANGHIRANO	PANOCCHIA	PARMA SUD	VICOMERO	S. ANDREA	COLORNO	COPERMIO
Cluster Analysis	Fagor									
● dominanza elevata	■ specie di gruppo ricorrente									
○ " media	□ specie associate di 1° ordine									
○ bassa	□ specie associate di 2° ordine									
+ specie occasionali										
<i>Baetis (pseudotrebatinus Grnd?)</i>	□ ○	■ ○	□ ○	□ ○	□ ○					
<i>Cloeon dipteron L.</i>										○
<i>Epeorus torrentium Etn.</i>	■	□ ○	+							
<i>Ecdyonurus fluminum Pet.</i>				○						
<i>Ecdyonurus helveticus Etn.</i>	■	+	+	□						
<i>Rhithrogena aurentiaca Burn.</i>	○	■ ○	+	+						
<i>Rhithrogena "gr. semicolorata"</i>	■ ○	■ ○	■ ○	■ ○	■ ○	+				
<i>Habrophlebia umbratilis/modesta</i>	■ ○	+	+							
<i>Habrophlebia fusca Curt.</i>	+	+								
<i>Ephemeralia ignita Curt.</i>	+	○	+	+						
<i>Caenis horaria L.</i>	+	○	+	□ ○	+					
PLECOPTERA										
<i>Brachyptera risi Mort.</i>	○	○	+	□						
<i>Anphinemura sulcicollis Steph.</i>	■ ○	■ ○	+							
<i>Nemoura mortoni Ris.</i>	○	+								
<i>Protoneamura sp.</i>					+					
<i>Protoneamura intricata Ris.</i>	□ ○	■ ○	□ ○	■ ○						
<i>Leuctra sp.</i>					+					
<i>Leuctra fusca L.</i>	■ ○	■ ○	+	+						
<i>Capnioneura nemurooides Ris.</i>										
<i>Isoperla grammatica Pod.</i>		□ ○	□ ○	+						
<i>Isoperla rivulorum Pict.</i>	■ ○	+								
<i>Perla marginata Pz.</i>	□ ○	+	+							
<i>Xanthoperla apicalis Newm.</i>	○	+	+							
COLEOPTERA										
<i>Dytiscidae sp. A</i>		+		+						
<i>Dytiscidae sp. B</i>						+				
<i>Hydrophilidae</i>	+									
<i>Elmidae sp. A</i>	+	+								
<i>Elmidae sp. B</i>	□									
<i>Elmidae sp. C</i>										
<i>Chrysomelidae sp. A</i>	+									
<i>Chrysomelidae sp. B</i>				+	+					
TRICHOPTERA										
<i>Rhyacophila sp.</i>	○									
<i>Rhyacophila dorsalis Curt.</i>	+	□ ○	+	+						

Segue: Tab. 3

LEGENDA		BOSCO	CORNIGLIO	LANGHIRANO	PANOCCHIA	PARMA SUD	VICOMERO	S. ANDREA	GOLORNO	COPIRMIO
● dominanza elevata	■ specie di gruppo ricorrente									
○ media	□ specie associate di 1° ordine									
○ bassa	+ specie associate di 2° ordine + specie occasionali									
Glossosoma sp.	+	■ ○								
Agapetus sp.	+									
Hydropsyche sp.	■ ○	■ ○	○	□ ○	○					
Polycentropus sp.		+								
Limnephilidae	○	+							+	
Allogamus sp.	+	+								
Leptoceridae	+									
Odontocerum albicorne Scop.	○	+								
Diptera (alia)										
Elepharoceridae	+	+								
Tipulidae sp. A	○	○								
Tipulidae sp. B		+					○	○		
Tipula sp.					+					
Dicranota sp.	+	+								
Eriocera sp. A	□									
Eriocera sp. D	○	+	+	○	+					
Psychodidae	+				+				○	
Pericomia sp.			+							
Dolicopodidae	+			+		+				
Antocha sp.		+								
Ceratopogonidae sp. A	+	□		+		+	○			
Ceratopogonidae sp. B	+									
Empididae sp. A	+	○	+							
Empididae sp. B		○								
Tabanus sp.		□ ○								
Atherix sp.	□	+								+
Diptera										
DIPTERA SIMULIIDAE										
Prosimulium sp.			○	+						
Prosimulium (arvernense?)					+					
Prosimulium hirtipes Fries	●	■ ○								
Eusimulium sp.					+					
Eusimulium "gr. aureum"	+	+								
Wilhelmia equina L.					+					
Odagmia "gr. ornata"			+	□ ○	○					
Odagmia variegata (Mg.)	+			○						
Simulium pictum Mg.		○	+							
Simulium "gr. reptans"					+					

Segue: Tab. 3

Cluster Analysis		LEGENDA								
	Fager	BOSCO	CORNIGLIO	LANGHIRANO	PAROCCHIA	PARMA SUD	VICOMERO	S. ANDREA	COLORNO	COPERMIO
● dominanza elevata	■ specie di gruppo ricorrente									
○ media	□ specie associate di 1° ordine									
○ bassa	□ specie associate di 2° ordine									
+ specie occasionali										
DIPTERA CHIRONOMIDAE										
Tanypodini										
Psectrotanypus varius (Fabr.)										
Pentaneurini sp. A		○	○	○	□ ○					
Pentaneurini sp. B		○	□ ○	+	+					
Pentaneurini sp. C	+	○	+	+	○	○	○			
Corynoneura s.g.corynoneura	+			+						
Corynoneura s.g. thienemanniella	+	+								
Diamesinae			○							
Diamesa sp.	■ ○	■ ○	+	□ ○	○					
Prodiamesa olivacea (Mg.)							○	+		
Parorthocladius sp.	+									
Euorthocladius sp.	■ ○	■ ○	■ ○	■ ○	■ ○	■ ○	○	○	○	+
Orthocladius sensu str.	■ ○	○	■ ○	■ ○	■ ○	■ ○	○	○	○	○
Gricotopus sp.							+		●	○
Eukiefferiella sp.	+	□ ○	○	■ ○	■ ○	■ ○				
Orthocladiinae sp. A	□ ○	□	○	○	○					
" " C2				+						
" " D	○	+	+							
" " F1	+					+				
" " F2	○	○	+							
" " G				+	+					
" " H1	■ ○	□	○	■ ○	+					
" " H3				+	+					
" " H4		+	□ ○	+	○	+		+		+
" " L1	○	○	+		○	○				
" " L2	+	○		○	○	○				
" " L3	+									
" " L4		○	○							
" " M						+				
" " N						○				
" " P1		○	○	+	○	○				
" " P2	+	○	+	+						+
" " Q	+			+						
Chironomus "gr. thummi"					○	■ ○	○	○	■ ○	■ ○
Cryptochironomus "gr. defectus"					○	○				○
Phytochironomus sp.					○					

segue

Segue: Tab. 3

Cluster Analysis	LEGENDA	Fager									
			BOSCO	CORNIGLIO	LANCHIRANO	PANOCCHIA	PARMA SUD	NICOMERO	S. ANDREA	COLDRNO	COPPERMIO
<i>Phytotendipes "gr.gripekoveni"</i>								○	+		
<i>Phytotendipes barbipes Staeg.</i>								○			
<i>Sergentia sp.</i>		+									
<i>Limnochironomus sp.</i>								○	○		
<i>Microtendipes sp.</i>		+	○								
<i>Paracladopelma sp.</i>							○				
<i>Cryptocladopelma sp.</i>							○		○		
<i>Cryptocladopelma laccophila Kieff.</i>									+		
<i>Paralauterborniella sp.</i>		+									
<i>Paratendipes sp.</i>		+	+							○	
<i>Pentapedilum sp.</i>		+								○	
<i>Polypedilum "gr.convictum"</i>								○			
<i>Polypedilum "gr.laetum"</i>		+	○	○	○	○	■ ○	○	○	○	+
<i>Stempellina sp.</i>		○									
<i>Tanytarsus " gr.exiguus"</i>			○								
<i>Tanytarsus "gr.gregarius"</i>		○	○	○	○	○	○	○	○	○	+
<i>Tanytarsus "gr. inermipes"</i>		+	□ ○	+	+	■ ○					
<i>Cladotanytarsus sp.</i>			+							○	
<i>Zavrelia sp.</i>											
<i>Tanytarsini</i>				○							
GASTROPODA											
<i>Gastropoda</i>									+		
<i>Bithynia leachi Shepp</i>		+									
<i>Bithynia tentaculata L.</i>							○	○	○	○	○
<i>Physa acuta Drp.</i>						○	○	○	○	○	○
<i>Radix peregra Müll.</i>								○	○		
<i>Lymnaea sp.</i>							○		○		
<i>Planorbis sp. A</i>						■ ○	■ ○	○	○	○	○
<i>Planorbis sp. B</i>						○	□ ○				
<i>Planorbarius corneus L.</i>								○			
<i>Ancylus fluviatilis Mull.</i>						○	○				
LAMELLIBRANCHIA											
<i>Pisidium sp.</i>							○	□			
<i>Unio sp.</i>							○				

Analizzando, ad es., la stazione montana di Bosco si osserva che essa presenta una comunità dominante costituita da *Baetis rhodani*, *B. pseudotrebatinus*, *Anphinemura sulcicollis*, *Leuctra fusca* e alcuni Ortocladini. Sono inoltre importanti le presenze di *Rhitrogena semicolorata*, *Habrophlebia umbratilis*, *Protonemura intricata*, *Isoperla rivulorum*, *Perla marginata* e *Hydropsyche sp.* Sono frequenti, anche se non abbondanti, *Epeorus torrentium*, *Ecdyonurus helveticus* e Elmidae sp. B. Sono presenti con esplosioni numeriche, anche se poco frequenti e spesso limitate a ristretti microhabitat, *Prosimulium hirtipes*, *Stylodrilus heringianus*, *Rhithrogena Aurantiaca*, *Brachyptera risi*, *Nemoura mortoni*, *Xantoperla apicalis*, *Rhyacophila sp.*, *Odontocerum albicorne*, Limnophilidae, Tipulidae sp. A, *Eriocera sp.* D, Pentaneurini sp. A, sp. B, alcuni Ortocladini e Tanitarsini. Passando invece ad analizzare la stazione di Copermio, alla confluenza con il Fiume Po, si rileva che la comunità dominante è sostenuta da *Tubifex tubifex*, *Limnodrilus claparedeanus*, *L. hoffmeisteri*, *L. udekemianus*, *Asellus sp.*, *Chironomus «gr. thummi»*. Sono presenti con vere esplosioni numeriche, anche se poco frequenti, *Nais barbata*, *Nais elinguis*, *Peloscolex sp.*, Lumbriculidae, *Erpobdella testacea*, *Cloëon dipterum*, Psychodidae, alcuni Tanipodini, *Cryptochironomus «gr. defectus»*, *Limnochironomus sp.*, *Cladotanytarsus sp.*, *Bitinia tentaculata*, *Physa acuta*, *Planorbis sp. A*. Sulla base dei dati riportati in Tab. 3 è possibile inoltre individuare le «specie caratteristiche» secondo la definizione di BERG (1948): «specie che in un determinato biotopo sono presenti come sufficientemente numerose, numerose o sensibilmente numerose e che: non si ritrovino in altri biotopi come dominanti; colonizzino buona parte dei biotopi limitrofi e possano vivere in numerosi biotopi, ma preferiscano nettamente il biotopo in questione». Si possono così ritenere «specie caratteristiche»:

- *Amphinemura sulcicollis* e *Leuctra fusca* per la zona montana del torrente;
- *Isoperla grammatica* e alcuni Ortocladini per la zona collinare;
- *Nais elinguis* per la zona di transizione fra collina e pianura;
- *Branchiura sowerbyi* e *Planorbis sp. A* per la zona di pianura a risorgive;
- *Limnochironomus sp.* per la zona di bassa pianura.

Osservando ora la composizione della biocenosi, nel suo complesso, si vede che alcune specie colonizzano quasi tutto il corso d'acqua: *Nais elinguis*, *Erpobdella testacea*, alcuni Ortocladini e Tanitarsini. Altre specie, invece, colonizzano ampi tratti, pur entro limiti precisi di caratteristiche idrologiche e sedimentologiche: *Baetis rhodani*, *Rhithrogena semicolorata*, *Protonemura intricata*, *Hydropsyche sp.*, *Tubifex tubifex*, *Limnodrilus claparedeanus*, *L. hoffmeisteri*, *L. udekemianus*, alcuni Ortocladini, *Chironomus «gr. thumni»*, *Physa acuta*, *Planorbis sp. A*.

Suddividendo, infine, il torrente nel tratto montano-collinare e nel tratto di pianura si osserva che questi sostengono edifici biologici nettamente differenziati con una zona di transizione netta nella stazione di Parma Sud. Nel tratto montano la comunità è infatti costituita prevalentemente da Plecotteri, Efemerotteri, Tricotteri, Coleotteri, Ortocladini, Ditteri Simulidi e altri, mentre, nel tratto di pianura, da Oligocheti, Chironomini, Isopodi, Gasteropodi, Iridinei.

SUMMARY

The list of the macroinvertebrate populations obtained from the nine stations along the Torrente Parma during the course of 1yr is given in Table 3, to provide an overall picture of the distribution, frequency and incidence of each population.

For facility of representation, it was preferred to summarized the information according to the annual cycle, using cluster analysis and Fager's affinity index.

These methods allow us to identify homogeneous groups of species with respect of the river zonation.

This criteria is thus enhanced by the possibility of taking into account groups of species typical of those environments. In this way, it becomes possible to place greater emphasis on those species which play a predominant role in the environment.

BIBLIOGRAFIA

- BERG K., 1948 - Biological studies on the River Susaa. - *Folia Limnol. Scandinav.*, 4, pp. 1-318.
- BONAZZI G. e GHETTI P.F., 1977 - I macroinvertebrati del Torrente Parma. Risultati di un ciclo annuale di ricerche. - *Ateneo Parmense, Acta Nat.*, 13, pp. 351-395.
- CROSSMAN J., KAESLER R. & CAIRNS J., 1974 - The use of cluster analysis in the assessment of spills of hazardous materials. - *The American Midland Naturalist*, 92 (1), pp. 94-114.
- DAVIES R.G., 1971 - Computer programming in quantitative biology. - Academic Press, London and New York.

- AGER E.W., 1957 - Determination and analysis of recurrent groups. - *Ecology*, 38 (4), pp. 586-595.
- GHETTI P.F., 1974 - L'acqua nell'ambiente umano di Val Parma. - Ed. Studium Parmense, Parma, pp. 1-232.
- GHETTI P.F. & BONAZZI G., 1977 - A comparison between various criteria for the interpretation of biological data in the analysis of the quality of running waters. - *Water Research*, 11, pp. 819-831.
- HAWKES H.A., 1975 - River zonation and classification. In: Whitton B.A. *River Ecology*. - Blackwell Sc. Pubs., Oxford, pp. 312-374.
- HUET M., 1946 - Note préliminaire sur les relations entre la pente et les populations piscicoles des eaux courantes. - *Biol. Jaarboek, Dodonaena*, pp. 232-243.
- HUET M., 1949 - Aperçu des relations entre la pente et les populations piscicoles dans les eaux courantes. - *Schweiz. Z. fischdrol.*, 11 (3-4), pp. 332-351.
- ILLIES J., 1961 - Versuch einer allgemein biozönotischen Gliederung der Fließgewässer. - *Internat. Rev. ges. Hydrobiol.*, 46, pp. 205-213.
- ILLIES J. & BOTOSANEANU L., 1963 - Problèmes et méthodes de la classification et de la zonation écologique des eaux courantes, considérées surtout du point de vue faunistique. - *Mitt. Internat. Verein. Limnol.*, 12, pp. 1-57.
- MARLIER G., 1951 - La biologie d'un ruisseau de plaine. *Le Smohain*. - Mem. Inst. v. Sci. nat. Belg., 114, pp. 1-98.
- MUTTKOWSKY R.A., 1929 - The ecology of trout streams in Yellowstone National Park - Roosevelt Wild Life Ann., 2, pp. 155-240.
- PERCIVAL E. & WHITEHEAD H., 1929 - A quantitative study of the fauna of some types of stream-bed. - *J. Ecol.*, 17, pp. 282-314.
- PERSOOONE G., 1977 - Proposal for a biotypological classification of water courses in the European Communities. Preliminary report. - Dattiloscritto.
- SARACENI C., 1971 - Biologia ed ecologia delle comunità macrobentoniche del Fiume Bardello. - *Mem. Ist. Ital. Idrobiol.*, 27, pp. 61-111.
- SHELFORD V.E. & EDY S., 1929 - Methods for the study of stream communities. - *Ecology*, 10, pp. 382-391.
- THIENEMANN A., 1912 - Der Berybach des Sauerlandes. - Int. Revue ges Hydrobiol. Hydrogr. Suppl., 4, pp. 1-125.
- THORUP J., 1966 - Substrate type and its value as a basis for demilitiation of bottom fauna communities on running waters. - Spec. Pubs. Pymatuning Lab. Fld. Biol., 4, pp. 59-84.
- VAILLANT F., 1967 - Sur le choix des espèces indicatrices pour une zonation des eaux courantes. - *Trav. Lab. Hydrobiol. Pisc. Univ. Grenoble*, 57-58, pp. 7-15.
- VERNEAUX J., 1973 - Recherches écologiques sur le réseau hydrographique du Doubs. Essai de biotypologie. - Thèse doctorat es. Sci. Biol. Anim. Fac. Sci. Univ. Besançon, pp. 1-260.
- VERNEAUX J., 1976 - Principes fondamentaux pour la détermination de critères écologiques relatifs aux biocénoses d'eau courante. In: Amavis R. & Smeets J., Principles and methods for determining ecological criteria on hydrobiocenoses. - Pergamon Press, pp. 191-197.
- WEBER-OLDECOP D.W., 1977 - Fliessgewässertypologie auf vegetationskundlicher Grundlage. - In press.
- WILLIAMS W.T., 1971 - Principles of clustering. - *Ann. Rev. Ecol. System.*, 2, pp. 303-326.
- WUHRMANN K., 1972 - Stream purification. In: *Water pollution microbiology*. - Wiley - Interscience, pp. 119-151.